



เอกสารอ้างอิง

1. สมชาย สุนทรพิพานิชย์ และ นาวิ พิชัยกุล, "ถ่านหินพลังงานเชื่อมอนาคต," ข่าวสารการธรณี, ปีที่ 31, หน้า 14-17, 9 กันยายน 2529.
2. Perry, N., "Pyrolysis," Coal Liquefaction Processes, pp. 22-73, Noyes Data Corporation, New Jersey, U.S.A., 1979.
3. วลัย ตะเวทิพงศ์, "การเปลี่ยนถ่านหินให้เป็นน้ำมันในประเทศสหพันธ์สาธารณรัฐเยอรมัน" ข่าวสารการธรณี, ปีที่ 32, หน้า 24-27, 3 มีนาคม 2530.
4. Martin, A. E., "Pyrolysis in Inert Gas," Chemistry of Coal Utilization, 2nd Supp.Vol., pp. 688-784, John Wiley & Sons, New York, 1980.
5. ASTM Standard; D388, "Classification of Coals by Rank," American Society for Testing and Materials, U.S.A., 1985.
6. งานถ่านหินกองเชื้อเพลิงธรรมชาติ, "พลังงานจากถ่านหินในประเทศไทย," ข่าวสารการธรณี, ปีที่ 31, หน้า 26-38, 3 มีนาคม 2529.
7. Manfred, W. and C. Wert, "Cross-linking of Macromolecules in Coal," Fuel, 63, 891-896, July, 1984.
8. Gibson, S. and D.H. Gregory, "Carbonization of Coal," CE/4, M & B Monograph, Mill & Boon Limited London, 1964.
9. Solomon, P. R., "New Approaches in Coal Chemistry," ACS Symposium Ser. No. 169, American Chemical Society, Washington, D.C., 1981.
10. James, B. H., D. J. Cram and G. S. Hammond, "Thermal Eliminations," Organic Chemistry, 3rd edition., pp. 595-597, McGraw-Hill, New York, 1970.
11. Ahland, E., G. Nashan, W. Peters, and W. Wekamp, "Low Temperature Carbonization and Coking," Chemical Feedstocks from Coal, pp. 12-77, John Niley & Son Inc., 1982.
12. Stein, T. R., Heak, R. H., Callen, R. H., Voltz, S. E., "Upgrading Coal Liquids to Turbine Fuels," Coal Processing Technology, pp. 197-198, ACEP Technical Manual Published by AIChE, 1980.

13. Kent, J. V., "Analytical Pyrolysis Techniques and Applications," Department of Chemistry, pp. 343-406, Butterworth & co., (Publishers) Ltd., 1984.
14. Peytavy, A. and P.Foch, "A Study of Semicarbonization in a Fluidized Bed," Chemical Engineering in the Coal Industry, pp. 75-99, the National Coal Board, 1975.
15. Bowling, K. McG., "Low Temperature Carbonization of Non-Caking Coals & Lignites and Briquetting of Coal Fines," Symposium Organized by The Regional Research Laboratory, Council of Scientific & Industrial Research New Delhi, Vol.1, Sree Saraswaty Press LTD., New Delhi, 1963.
16. Chang, P.W., K. Durai-Swamy, and E.W. Knell, "Kinetics of Coal Pyrolysis Reactions in Flash Pyrolysis Process," AIChE Journal, 26, 20-27, July, 1980.
17. George, R. G., and K. A. Wilhs, "Interparticle MassTransfer in Coal Pyrolysis," AIChE Journal, 26, 201-212, March, 1980.
18. Royton, M. R. and K. M. Sweeney, "Low-temperature Pyrolysis of Texas Lignite Basic Extracts and Some Related Model Compounds," Fuel, 63, 904-908, 1984.
19. Zygment, J. S., K. D. Bartle, and B. Frere, "Structural Analysis of Tars from Fluidized-Bed Pyrolysis of Coal 1. Gas-liquid Chromatography of Aliphatic and Aromatic Subfractions," Fuel, 61, 817-823, 1982.
20. Ralph, J. T., "Flash Pyrolysis of Coals. Devolatilization of Bituminous Coals in a Small Fluidized-bed Reactor," Fuel, 59, 218-226, 1980.
21. พกามาศ ภู่วัฒนานุสรณ์, "การกลั่นสลายถ่านหินลิกไนต์ในประเทศไทย," วิทยานิพนธ์ปริญญา มหาบัณฑิต, ภาควิชาวิศวกรรมเคมี บัณฑิตวิทยาลัย จุฬาลงกรณ์มหาวิทยาลัย, 2520.

22. อนุญา พจนารถ, "การปรับปรุงคุณภาพเศษถ่านหินโดยวิธีคาร์บอนเซชัน," วิทยานิพนธ์ปริญญามหาบัณฑิต, ภาควิชาเคมีเทคนิค บัณฑิตวิทยาลัย จุฬาลงกรณ์มหาวิทยาลัย, 2528.
23. ประโยชน์ ศรีสุภนันต์, "การศึกษาคาร์บอนซีของถ่านหินและผลิตภัณฑ์," วิทยานิพนธ์ปริญญามหาบัณฑิต, ภาควิชาเคมีเทคนิค บัณฑิตวิทยาลัย จุฬาลงกรณ์มหาวิทยาลัย, 2528.
24. สมศักดิ์ ดำรงค์เลิศ, ฟลูอิดเซชัน, ภาควิชาเคมีเทคนิค, คณะวิทยาศาสตร์, จุฬาลงกรณ์มหาวิทยาลัย, พฤษภาคม, 2524.
25. Daizo, K. and O. Levenspiel, "Industrial Application of Fluidized Bed," Fluidization Engineering, pp.12-62, John Wiley & Sons, New York, 1977.
26. Arnold, B. H., "Automated Modified Fischer Retorts for Assaying Oil Shale and Bituminous Materials," The Bureau of Mines, pp. 1-18, 1964.
27. ASTM Standards; D2013, "Preparing Coal Sample for Analysis." American Society for Testing and Materials, U.S.A., 1985.
28. ASTM Standards; D3172, "Proximate Analysis of Coal and Coke," American Society for Testing and Materials, U.S.A., 1985.
29. ASTM Standards; D3173, "Test for Moisture in the Analysis Sample of Coal and Coke," American Society for Testing and Materials, U.S.A., 1985.
30. ASTM Standards; D3174, "Test for Ash in the Analysis Sample of Coal and Coke," American Society for Testing and Materials, U.S.A., 1985.
31. ASTM Standards; D3175, "Test for Volatile Matter in the Analysis Sample of Coal and Coke," American Society for Testing and Materials, U.S.A., 1985.
32. ASTM Standards; D2015, "Test for Gross Calorific Value of Solid Fuel by the Adiabatic Bomb Calorimeter," American Society for Testing and Materials, U.S.A., 1985.

33. ASTM Standards; D3177, "Total Sulfur in the Analysis Sample of Coal and Coke," American Society for Testing and Materials, U.S.A., 1985.
34. Gershon, J. S., A. S. Ronald, B. Lawrence, and S. B. Rose, "Column Chromatography," Chemical Technician's Ready Reference Handbook, pp. 750-755, McGraw-Hill Book Company, 2nd ed., 1981.
35. Motl, O., and L. Novotny, "Adsorption Chromatography," Laboratory Handbook of Chromatographic Methods, pp. 189-215, D. Van Nostrand Company Ltd, London, 1984.
36. ASTM Standard; D240, "Heat of Combustion of Liquid Hydrocarbon," American Society for Testing and Materials, U.S.A., 1976.
37. ASTM Standard; D129, "Sulfur in Tar Oil Product," American Society for Testing and Materials, U.S.A., 1964.
38. Cliff, D. I., K. R. Doolan, J. C. Mackie, and R. J. Tyler, "Product from Rapid Heating of a Brown Coal in the Temperature Range 400-2300 °C," Fuel ,63 , 394-400, 1984.

ศูนย์วิทยทรัพยากร
จุฬาลงกรณ์มหาวิทยาลัย



ภาคผนวก

ศูนย์วิทยทรัพยากร
จุฬาลงกรณ์มหาวิทยาลัย

ภาคผนวก ก

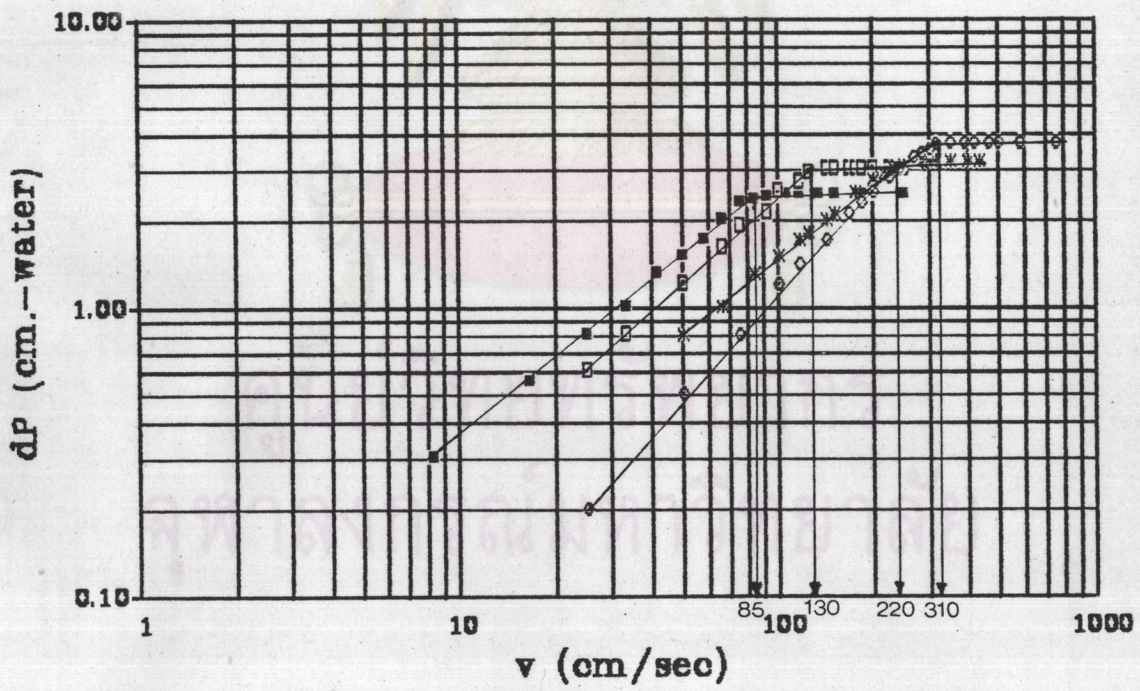
การหาสภาวะที่เหมาะสมในการคาร์บอนไนซ์ของถ่านหิน แบบฟลูอิดเซชัน

ระบบฟลูอิดเซชัน เป็นระบบที่ต้องใช้ของไหลบ้อนเข้าสู่เตาคาร์บอนไนเซอร์ เพื่อให้ทำให้เกิดการฟลูอิดไนซ์ ระบบในการทดลองนี้ ของไหลที่ใช้เป็นก๊าซที่ได้จากการหมุนเวียนในระบบเป็นตัวกลางของการหาค่าความเร็วต่ำสุดที่ทำให้เกิดฟลูอิดไนซ์ในระบบ

การเกิดฟลูอิดไนซ์ เป็นลักษณะของเม็ดของแข็งที่มีพฤติกรรมคล้ายของไหลเมื่อผ่านความเร็วลมค่าหนึ่ง เม็ดของแข็งจะลอยขึ้นเนื่องจากแรงดันของลมที่เข้าไปมีขนาดพอดีกับน้ำหนักของของแข็งและแรงเสียดทานของเม็ดของแข็ง ความเร็วลมนี้เรียกว่าความเร็วต่ำสุด

การหาค่าความเร็วต่ำสุดของการฟลูอิดไนซ์

การทดลองโดยการต่อท่อพลาสติกใสที่ใช้แทนท่อทดลองเข้ากับปลายของโอริฟิค ภายในใส่เม็ดถ่านที่คัดขนาดแล้ว ขณะที่บ้อนให้อากาศเข้าไปผ่านแผ่นกระจายอากาศเข้าสู่เบดหนึ่ง ความดันตก (dp_p) ภายในเบดจะค่อย ๆ เพิ่มขึ้น พร้อมกับการเพิ่มความเร็วลม (v) อ่านค่าความเร็วลม และความดันตกในแต่ละครั้งที่เพิ่มขึ้น ดังในตารางที่ ก.1, 2, 3 และ 4 เมื่อเขียนกราฟแสดงความสัมพันธ์ระหว่างความเร็วลมกับความดันตก ณ จุดที่ความดันตกมีค่าคงที่ จะเป็นจุดที่แสดงถึงค่าความเร็วต่ำสุดของเม็ดถ่านหินที่อยู่ในสภาวะฟลูอิดไนซ์ ดังรูปที่ ก.1



■ 0.5-1.0 mm □ 1.0-2.0 mm * 2.0-4.0 mm ○ 4.0-8.0 mm

รูปที่ ก.1 แสดงค่าความเร็วต่ำสุดของอนุภาคถ่านหินขนาดต่าง ๆ ที่อุณหภูมิห้อง ความดันบรรยากาศ

ตารางที่ ก.1 แสดงข้อมูลการทดลองหาค่าความเร็วต่ำสุดในการทำให้เกิดฟลูอิดไอเซชัน โดยอาศัยความสัมพันธ์ระหว่างความดันตกที่เปลี่ยนไปกับความเร็วอากาศที่ไหลผ่านเบด

น้ำหนักถ่านหิน	200	กรัม
ขนาดของถ่านหิน	0.5-1.0	มิลลิเมตร
เส้นผ่านศูนย์กลางคอลัมน์	6	เซนติเมตร
ความสูงเบด	10	เซนติเมตร

ความดันที่เปลี่ยนไป (dP) (ชม.-น้ำ)	เร็วอากาศ (v) (ชม./วินาที)
0.3	8.3
0.55	16.6
0.8	25.0
1.0	33.0
1.3	41.6
1.5	50.0
1.7	58.3
2.0	66.6
2.3	75.0
2.35	83.3
2.4	91.6
2.4	99.9
2.45	106.5
2.45	116.6
2.45	133.3
2.45	150.0
2.45	183.3
2.45	250.0

ตารางที่ ก.2

น้ำหนักถ่านหิน	200	กรัม
ขนาดของถ่านหิน	1.0-2.0	มิลลิเมตร
เส้นผ่านศูนย์กลางคอลัมน์	6	เซนติเมตร
ความสูง เเบด	10.5	เซนติเมตร

ความดันที่เปลี่ยนไป (dP) (ชม.-น้ำ)	เร็วอากาศ (v) (ชม./วินาที)
0.6	25.0
0.8	33.0
1.2	50.0
1.6	66.6
1.9	75.0
2.1	91.6
2.5	100.0
2.7	116.6
2.9	125.0
3.0	141.6
3.0	150.0
3.0	166.8
3.0	175.0
3.0	183.3
3.0	200.0
3.0	225.0
3.0	250.0

ตารางที่ ก.3

น้ำหนักถ่านหิน	200	กรัม
ขนาดของถ่านหิน	2.0-4.0	มิลลิเมตร
เส้นผ่านศูนย์กลางคอลัมน์	6	เซนติเมตร
ความสูงเบด	11.5	เซนติเมตร

ความดันที่เปลี่ยนไป (dP) (ชม.-น้ำ)	เร็วอากาศ (v) (ชม./วินาที)
0.8	50.0
1.0	66.6
1.3	83.3
1.5	100.0
1.7	116.6
1.8	125.0
2.0	141.6
2.1	150.0
2.5	175.0
2.75	200.0
2.9	216.6
3.0	233.3
3.1	250.0
3.15	283.3
3.2	300.0
3.2	316.6
3.2	350.0
3.2	400.0
3.2	433.3

ตารางที่ ก.4

น้ำหนักถ่านหิน	200	กรัม
ขนาดของถ่านหิน	4.0-6.0	มิลลิเมตร
เส้นผ่านศูนย์กลางคอลัมน์	6	เซนติเมตร
ความสูงเบด	12.0	เซนติเมตร

ความดันที่เปลี่ยนไป (dP) (ชม.-น้ำ)	เร็วอากาศ (v) (ชม./วินาที)
0.2	25.0
0.5	50.0
0.8	75.0
1.2	100.0
1.4	116.6
1.7	141.6
2.1	166.6
2.3	183.3
2.5	200.0
2.8	225.0
3.0	241.6
3.3	266.6
3.4	283.3
3.5	300.0
3.65	316.6
3.7	350.0
3.7	391.6
3.7	416.6
3.7	466.6
3.7	500.0
3.7	583.3
3.7	750.0

การหาค่าความเร็วลมของแต่ละขนาดอนุภาคที่อุณหภูมิต่าง ๆ (ตารางที่ ก.5)

Basis 1 วินาที

จาก
$$\frac{P_1 V_1}{T_1} = \frac{P_2 V_2}{T_2}$$

ที่สภาวะความดันเท่ากัน และพื้นที่หน้าตัดของเบดอันเดียวกัน

$$v_2 = \frac{v_1 T_2}{T_1}$$

ที่อุณหภูมิ 325 องศาเซลเซียสจะมีความเร็วลมเป็น

$$v_2 = \frac{85 \times (273+325)}{273+30} = 168 \text{ เซนติเมตรต่อวินาที}$$

ตารางที่ ก.5 แสดงความเร็วลมของขนาดอนุภาคต่าง ๆ ที่อุณหภูมิ 325-600 องศาเซลเซียส ในระบบฟลูอิไดซ์เบด

ขนาดถ่านหิน (มิลลิเมตร)	ความเร็วลม (ชม./วินาที)				
	30 °ซ	325 °ซ	460 °ซ	475 °ซ	600 °ซ
0.5-1.0	85	168	189	231	245
1.0-2.0	130	257	289	353	375
2.0-4.0	220	454	511	625	663
4.0-6.0	310	612	689	842	893

ภาคผนวก ข

การคำนวณผลิตภัณฑ์ที่ได้จากการคาร์บอนไนซ์

การคาร์บอนไนซ์ที่ 600 องศาเซลเซียสของถ่านหินขนาด 0.5-1.0 มิลลิเมตร
ในระบบรีทอร์ทแบบนิซเซอร์

น้ำหนักสารตั้งต้น

ถ่านหิน	100.0	กรัม
ปริมาณของผลิตภัณฑ์		
น้ำหนักถ่านชาร์	52.8	กรัม
น้ำหนักของของเหลวใส	25.8	กรัม
น้ำหนักน้ำมันทาร์	3.4	กรัม
ปริมาตรของก๊าซ	15.35	ลิตร

คิดเป็นร้อยละของผลิตภัณฑ์

น้ำหนักถ่านชาร์	$\frac{52.8 \times 100}{100} = 52.8$
น้ำหนักของของเหลว	$\frac{25.8 \times 100}{100} = 25.8$
น้ำหนักของของน้ำมันทาร์	$\frac{3.4 \times 100}{100} = 3.4$

ศูนย์วิจัยทรัพยากร
จุฬาลงกรณ์มหาวิทยาลัย

ตารางที่ ข.1 แสดงปริมาณผลิตภัณฑ์ที่ได้จากการคาร์บอไนซ์เป็นร้อยละโดยน้ำหนักและปริมาตรของถ่านหินช่วงขนาด 0.5-1.0 มิลลิเมตรกับอุณหภูมิในระบบรีทอร์ทแบบพิชเซอร์

อุณหภูมิที่คาร์บอไนซ์ (°ซ)	ร้อยละโดยน้ำหนัก			ลิตร
	ถ่านชาร์	ของเหลวใส	น้ำมันทาร์	ก๊าซ
250	75.4	19.0	-	3.50
325	71.7	19.7	1.2	4.85
400	66.2	21.5	1.8	6.40
475	59.3	23.9	2.9	12.20
550	55.3	24.5	3.2	14.25
600	52.8	25.8	3.4	15.35

ตารางที่ ข.2 แสดงปริมาณผลิตภัณฑ์ที่ได้จากการคาร์บอไนซ์เป็นร้อยละโดยน้ำหนักและปริมาตรของถ่านหินช่วงขนาด 1.0-2.0 มิลลิเมตรกับอุณหภูมิในระบบรีทอร์ทแบบพิชเซอร์

อุณหภูมิที่คาร์บอไนซ์ (°ซ)	ร้อยละโดยน้ำหนัก			ลิตร
	ถ่านชาร์	ของเหลวใส	น้ำมันทาร์	ก๊าซ
250	76.4	18.2	-	2.85
325	71.7	18.4	1.1	5.00
400	66.0	19.5	1.7	6.90
475	59.0	23.5	2.9	10.80
550	55.4	23.2	3.3	13.30
600	52.8	24.7	3.4	14.90

ตารางที่ ข.3 แสดงปริมาณผลิตภัณฑ์ที่ได้จากการคาร์บอไนซ์เป็นร้อยละโดยน้ำหนักและปริมาตรของถ่านหินช่วงขนาด 2.0-40 มิลลิเมตรกับอุณหภูมิในระบบรีทอร์ทแบบพิชเชอร์

อุณหภูมิที่คาร์บอไนซ์ (°ซ)	ร้อยละโดยน้ำหนัก			ลิตร
	ถ่านชาร์	ของเหลวใส	น้ำมันทาร์	ก๊าซ
250	74.7	19.0	—	3.45
325	72.0	18.9	1.1	5.90
400	66.3	20.8	1.6	6.40
475	59.1	23.6	2.9	11.40
550	54.7	24.7	3.2	12.95
600	52.9	25.2	3.4	15.80

ตารางที่ ข.4 แสดงปริมาณผลิตภัณฑ์ที่ได้จากการคาร์บอไนซ์เป็นร้อยละโดยน้ำหนักและปริมาตรของถ่านหินช่วงขนาด 4.0-6.0 มิลลิเมตรกับอุณหภูมิในระบบรีทอร์ทแบบพิชเชอร์

อุณหภูมิที่คาร์บอไนซ์ (°ซ)	ร้อยละโดยน้ำหนัก			ลิตร
	ถ่านชาร์	ของเหลวใส	น้ำมันทาร์	ก๊าซ
250	76.5	18.2	—	3.5
325	72.2	18.4	1.0	4.4
400	65.2	22.5	1.5	6.9
475	58.9	23.9	2.8	10.0
550	55.2	24.8	3.2	13.3
600	53.7	24.1	3.3	16.4

การคาร์บอนไนซ์ที่ 600 องศาเซลเซียส ของถ่านหินขนาด 0.5-1.0 มิลลิเมตร
 ในฟลูอิโดซ์เบด
 น้ำหนักสารตั้งต้น

ถ่านหิน	200.0	กรัม
ปริมาณของผลิตภัณฑ์		
น้ำหนักถ่านชาร์	98.0	กรัม
น้ำหนักของของเหลวใส	43.1	กรัม
น้ำหนักน้ำมันทาร์	0.7	กรัม

คิดเป็นร้อยละของผลิตภัณฑ์

น้ำหนักถ่านชาร์	$\frac{98.0 \times 100}{200} = 49.0$
น้ำหนักของของเหลวใส	$\frac{43.1 \times 100}{200} = 21.55$
น้ำหนักน้ำมันทาร์	$\frac{0.7 \times 100}{200} = 0.35$

ศูนย์วิจัยทรัพยากร
 อุทกศาสตร์มหาวิทยาลัย

ตารางที่ ข.5 แสดงปริมาณผลิตภัณฑ์ที่ได้จากการคาร์บอนไนซ์เป็นร้อยละโดยน้ำหนักของถ่านหินช่วงขนาด 0.5-1.0 มิลลิเมตรกับอุณหภูมิในระบบฟลูอิดไอเซชัน

อุณหภูมิที่คาร์บอนไนซ์ (°ซ)	ร้อยละโดยน้ำหนัก			
	ถ่านชาร์	ของเหลวใส	น้ำมันทาร์	สูญเสีย
325	71.4	13.02	0.08	15.5
400	66.7	15.10	0.10	18.5
475	58.6	18.80	0.20	22.4
550	54.3	20.84	0.16	24.7
600	49.0	21.55	0.35	29.1

ตารางที่ ข.6 แสดงปริมาณผลิตภัณฑ์ที่ได้จากการคาร์บอนไนซ์เป็นร้อยละโดยน้ำหนักของถ่านหินถ่านหินช่วงขนาด 1.0-2.0 มิลลิเมตรกับอุณหภูมิในระบบฟลูอิดไอเซชัน

อุณหภูมิที่คาร์บอนไนซ์ (°ซ)	ร้อยละโดยน้ำหนัก			
	ถ่านชาร์	ของเหลวใส	น้ำมันทาร์	สูญเสีย
325	71.5	19.43	0.07	9.0
400	65.6	22.60	0.10	11.8
475	58.7	24.70	0.10	16.5
550	54.8	25.55	0.15	19.5
600	51.0	25.70	0.40	22.9

ตารางที่ ข.7 แสดงปริมาณผลิตภัณฑ์ที่ได้จากการคาร์บอนไนซ์เป็นร้อยละโดยน้ำหนักของถ่านหิน
ถ่านหินช่วงขนาด 2.0-4.0 มิลลิเมตรกับอุณหภูมิในระบบฟลูอิดไอเซชัน

อุณหภูมิที่ คาร์บอนไนซ์ (°ซ)	ร้อยละโดยน้ำหนัก			
	ถ่านชาร์	ของเหลวใส	น้ำมันทาร์	สูญเสีย
325	73.6	18.36	0.04	8.0
400	66.9	20.42	0.08	12.6
475	59.8	22.60	0.10	17.5
550	54.7	23.70	0.20	21.4
600	52.1	25.30	0.20	22.4

ตารางที่ ข.8 แสดงปริมาณผลิตภัณฑ์ที่ได้จากการคาร์บอนไนซ์เป็นร้อยละโดยน้ำหนักของถ่านหิน
ถ่านหินช่วงขนาด 4.0-6.0 มิลลิเมตรกับอุณหภูมิในระบบฟลูอิดไอเซชัน

อุณหภูมิที่ คาร์บอนไนซ์ (°ซ)	ร้อยละโดยน้ำหนัก			
	ถ่านชาร์	ของเหลวใส	น้ำมันทาร์	สูญเสีย
325	72.0	16.17	0.03	11.8
400	67.0	16.20	0.80	16.0
475	59.7	19.80	0.10	20.4
550	55.0	21.10	0.12	23.7
600	51.9	23.25	0.25	24.6

ภาคผนวกที่ ค

การคำนวณหาคุณสมบัติของถ่านหินและถ่านชาร์

การวิเคราะห์แบบประมาณของถ่านชาร์ที่อุณหภูมิ 250 องศาเซลเซียสจากการคาร์บอนไนซ์ของถ่านหินขนาด 0.5-1.0 มิลลิเมตรในระบบรีทอร์ทแบบพิชเชอร์
air-dried basis

1. การหาปริมาณร้อยละความชื้น (ใช้วิธีการทดลอง ASTM D 3173)

น้ำหนักของถ่านหินก่อนอบ	=	0.9989	กรัม
น้ำหนักของถ่านหินหลังอบ	=	0.9725	กรัม
น้ำหนักของน้ำในถ่านหิน	=	0.0264	กรัม
ปริมาณร้อยละความชื้นของถ่านหิน	=	$\frac{0.0264 \times 100}{0.9989}$	
	=	2.64	

ทำการทดลองซ้ำ แล้วหาค่าเฉลี่ย ซึ่งผลการทดลองได้ค่าปริมาณร้อยละความชื้นของถ่านหิน 2.82

2. การหาปริมาณร้อยละของเถ้า (ใช้วิธีการทดลองตาม ASTM D 3174)

น้ำหนักของถ่านหินก่อนเผา	=	0.9972	กรัม
น้ำหนักของถ่านหินหลังเผา	=	0.1565	กรัม
ปริมาณร้อยละของเถ้า	=	$\frac{0.1565 \times 100}{0.9972}$	
	=	15.69	

ทำการทดลองซ้ำ แล้วหาค่าเฉลี่ย ซึ่งผลการทดลองได้ค่าปริมาณร้อยละของเถ้า 15.70

3. การหาปริมาณสารระเหย (ใช้วิธีการทดลองตาม ASTM D 3175)

น้ำหนักของถ่านหินก่อนอบ	=	0.9995	กรัม
น้ำหนักของถ่านหินหลังอบ	=	0.5508	กรัม
น้ำหนักที่หายไป	=	0.4487	กรัม
ปริมาณร้อยละของสารระเหย	=	$(\frac{0.4487 \times 100}{0.9995}) - 2.82$	
	=	42.08	

ทำการทดลองซ้ำ แล้วหาค่าเฉลี่ย ซึ่งผลการทดลองได้ค่าปริมาณร้อยละของสารระเหย 42.00

4. การหาปริมาณคาร์บอนคงตัว (ใช้วิธีการตาม ASTM D 3172)

$$\begin{aligned} \text{ปริมาณร้อยละของคาร์บอนคงตัว} &= 100 - \text{ปริมาณร้อยละของเถ้า} \\ &\quad - \text{ปริมาณร้อยละความชื้น} \\ &\quad - \text{ปริมาณร้อยละสารระเหย} \\ &= 100 - 15.70 - 2.82 - 42.00 \\ &= 39.48 \end{aligned}$$

5. การหาปริมาณร้อยละกำมะถัน (ใช้วิธีการตาม ASTM D 3177-A)

$$\begin{aligned} \text{น้ำหนักของถ่านหินก่อนทำปฏิกิริยา} &= 0.9985 && \text{กรัม} \\ \text{น้ำหนักของ BaSO}_4 \text{ ที่ได้จากปฏิกิริยา} &= 0.1493 && \text{กรัม} \\ \text{น้ำหนักจากการทำ Blank} &= 0.0003 && \text{กรัม} \\ \text{ปริมาณร้อยละของกำมะถัน} &= \frac{(0.1493 - 0.0003) \cdot 13.738}{0.9985} \\ &= 2.05 \end{aligned}$$

ทำการทดลองซ้ำ แล้วหาค่าเฉลี่ย ซึ่งผลการทดลองได้ค่าปริมาณร้อยละของกำมะถัน 1.91

$$\begin{aligned} \text{ร้อยละของปริมาณเถ้า จากข้อ 2} &= 15.70 \\ \text{ร้อยละของปริมาณสารระเหย จากข้อ 3} &= 42.00 \\ \text{ร้อยละของปริมาณคาร์บอนคงตัว จากข้อ 4} &= 39.48 \\ \text{รวมเป็น} &= 97.18 \end{aligned}$$

dry basis

$$\begin{aligned} \text{ร้อยละของปริมาณเถ้า} &= \frac{15.70 \times 100}{97.18} = 16.15 \\ \text{ร้อยละของปริมาณสารระเหย} &= \frac{42.00 \times 100}{97.18} = 43.22 \\ \text{ร้อยละของปริมาณคาร์บอนคงตัว} &= \frac{39.48 \times 100}{97.18} = 40.63 \end{aligned}$$

ตารางที่ ค.1 แสดงคุณสมบัติของถ่านชาร์และน้ำมันชาร์จากการคาร์บอนไนซ์ถ่านหินในช่วงขนาด 0.5-1.0 มิลลิเมตรกับอุณหภูมิในระบบบริทอร์ทแบบพิชเซอร์

คุณสมบัติ	อุณหภูมิที่คาร์บอนไนซ์ (องศาเซลเซียส)						
	เริ่มต้น	250	325	400	475	550	600
การวิเคราะห์แบบประมาณ, ร้อยละ (air-dried basis)							
ความชื้น	11.36	2.82	1.66	0.95	2.67	2.10	1.99
เถ้า	12.73	15.70	16.68	19.42	18.64	19.71	17.75
สารระเหย	43.58	42.00	39.21	35.52	28.11	21.92	16.92
คาร์บอนคงตัว	32.33	39.48	42.45	44.11	50.58	56.27	63.34
กำมะถันรวม	1.28	1.91	2.27	2.28	2.30	2.43	2.36
(dry basis)							
เถ้า	14.36	16.15	16.96	19.61	19.15	20.13	18.11
สารระเหย	49.17	43.22	39.87	35.86	28.88	22.39	17.26
คาร์บอนคงตัว	36.47	40.63	43.17	44.53	51.97	57.48	64.63
ค่าความร้อน (แคลอรี/กรัม)	4992	5089	5155	5494	5664	5825	6197
น้ำมันชาร์							
ค่าความร้อน (แคลอรี/กรัม)	-	-	8846	8054	8456	8847	7912
กำมะถันรวม	-	-	0.68	0.53	0.51	0.59	0.59

ตารางที่ ค.2 แสดงคุณสมบัติของถ่านชาร์และน้ำมันทาร์จากการคาร์บอนไนซ์ถ่านหินในช่วงขนาด 1.0-2.0 มิลลิเมตรกับอุณหภูมิในระบบบรีทอร์ทแบบพิชเซอร์

คุณสมบัติ	อุณหภูมิที่คาร์บอนไนซ์ (องศาเซลเซียส)						
	เริ่มต้น	250	325	400	475	550	600
การวิเคราะห์แบบประมาณ, ร้อยละ (air-dried basis)							
ความชื้น	11.57	2.45	1.18	1.35	2.46	1.59	2.09
เถ้า	12.73	14.28	15.26	16.33	16.98	18.25	19.96
สารระเหย	43.58	42.39	39.90	35.90	28.49	22.08	17.25
คาร์บอนคงตัว	37.43	40.88	43.66	46.42	52.07	58.08	60.70
(dry basis)							
เถ้า	12.67	14.64	15.44	16.55	17.41	18.54	20.39
สารระเหย	49.90	43.45	40.38	36.39	29.21	22.44	17.62
คาร์บอนคงตัว	37.43	41.91	44.18	47.06	53.38	59.02	61.99
กำมะถันรวม	1.15	1.60	1.60	1.71	1.75	1.78	1.82
ค่าความร้อน (แคลอรี/กรัม)	4978	5187	5329	5619	5801	5939	6095
น้ำมันทาร์							
ค่าความร้อน (แคลอรี/กรัม)	-	-	8522	7824	9370	7071	8724
ร้อยละกำมะถัน	-	-	0.58	0.58	0.57	0.55	0.50

จุฬาลงกรณ์มหาวิทยาลัย

ตารางที่ ค.3 แสดงคุณสมบัติของถ่านชาร์และน้ำมันทาร์จากการคาร์บอนไนซ์ถ่านหินในช่วงขนาด 2.0-4.0 มิลลิเมตรกับอุณหภูมิในระบบบริทอร์ทแบบพิชเซอร์

คุณสมบัติ	อุณหภูมิที่คาร์บอนไนซ์ (องศาเซลเซียส)						
	เริ่มต้น	250	325	400	475	550	600
การวิเคราะห์แบบประมาณ, ร้อยละ (air-dried basis)							
ความชื้น	11.83	2.15	1.15	2.71	2.54	2.08	1.96
เถ้า	10.22	11.67	11.11	12.02	14.62	13.36	14.78
สารระเหย	44.87	42.90	40.90	35.94	28.82	22.14	17.93
คาร์บอนคงตัว	33.08	43.28	46.84	49.33	54.02	62.42	65.33
กำมะถันรวม	1.10	1.44	1.48	1.67	1.60	1.68	1.60
(dry basis)							
เถ้า	11.59	11.93	11.24	12.36	15.00	13.64	15.07
สารระเหย	50.89	43.84	41.38	36.94	29.57	22.61	18.29
คาร์บอนคงตัว	37.52	44.23	47.38	50.70	55.43	63.75	66.64
กำมะถันรวม	1.10	1.44	1.48	1.67	1.60	1.68	1.60
ค่าความร้อน (แคลอรี/กรัม)		5365	5494	5891	6051	6279	6531
น้ำมันทาร์							
ค่าความร้อน (แคลอรี/กรัม)	-	-	9590	8005	8066	7747	9261
ร้อยละกำมะถัน	-	-	0.75	0.60	0.53	0.50	0.56

ตารางที่ ค.4 แสดงคุณสมบัติของถ่านชาร์และน้ำมันทาร์จากการคาร์บอนไนซ์ถ่านหินในช่วงขนาด 4.๐-6.๐ มิลลิเมตรกับอุณหภูมิในระบบระบบบริทอร์ทแบบพิชเชอร์

คุณสมบัติ	อุณหภูมิที่คาร์บอนไนซ์ (องศาเซลเซียส)						
	เริ่มต้น	250	325	400	475	550	600
การวิเคราะห์แบบประมาณ, ร้อยละ (air-dried basis)							
ความชื้น	11.95	2.97	0.90	1.00	2.51	2.66	2.57
เถ้า	9.47	10.58	10.50	11.41	13.30	13.21	13.23
สารระเหย	45.12	43.59	41.35	36.58	29.17	22.39	18.19
คาร์บอนคงตัว	33.46	42.86	47.25	51.01	55.02	61.74	66.01
กำมะถันรวม	1.08	1.38	1.39	1.52	1.57	1.61	1.67
(dry basis)							
เถ้า	10.76	10.90	10.60	11.52	13.64	13.57	13.58
สารระเหย	51.24	44.93	41.72	36.95	29.92	23.00	18.67
คาร์บอนคงตัว	38.00	44.17	47.68	51.53	56.44	63.43	67.75
ค่าความร้อน (แคลอรี/กรัม)	5152	5370	5575	6049	6183	6324	6492
น้ำมันทาร์							
ค่าความร้อน (แคลอรี/กรัม)	-	-	9238	8544	8526	6625	9316
ร้อยละกำมะถัน	-	-	0.65	0.57	0.48	0.48	0.53

ตารางที่ ค.5 แสดงคุณสมบัติของถ่านชาร์จากการคาร์บอนไนซ์ถ่านหินในช่วงขนาด 0.5-1.0 มิลลิเมตรกับอนุภูมิในระบบฟลูอิดเซชัน

คุณสมบัติ	อนุภูมิที่คาร์บอนไนซ์ (องศาเซลเซียส)					
	เริ่มต้น	325	400	475	550	600
การวิเคราะห์แบบประมาณ, ร้อยละ (air-dried basis)						
ความชื้น	11.36	1.52	0.28	0.27	0.37	0.20
เถ้า	12.73	16.82	18.60	19.43	19.15	20.09
สารระเหย	43.58	41.30	37.21	29.77	21.28	16.81
คาร์บอนคงตัว	32.33	40.36	43.91	50.53	59.20	62.90
(dry basis)						
เถ้า	14.36	17.08	18.65	19.48	19.22	20.13
สารระเหย	49.17	41.94	37.32	29.85	21.36	16.84
คาร์บอนคงตัว	36.47	40.98	44.03	50.67	59.42	63.03
ร้อยละกำมะถัน	1.28	1.85	2.10	1.91	1.88	2.02
ค่าความร้อน (แคลอรี/กรัม) ตัวอย่างที่นำมาวิเคราะห์	4992	5157	5352	5612	6089	6172

ศูนย์วิจัยทรัพยากร
จุฬาลงกรณ์มหาวิทยาลัย

ตารางที่ ค.6 แสดงคุณสมบัติของถ่านชาร์จากการคาร์บอไนซ์ถ่านหินในช่วงขนาด 1.0-2.0 มิลลิเมตรกับอุณหภูมิในระบบฟลูอิดไอเซชัน

คุณสมบัติ	อุณหภูมิที่คาร์บอไนซ์ (องศาเซลเซียส)					
	เริ่มต้น	325	400	475	550	600
การวิเคราะห์แบบประมาณ, ร้อยละ (air-dried basis)						
ความชื้น	11.57	1.04	0.53	0.35	0.46	0.44
เถ้า	11.20	15.10	15.50	17.43	16.98	17.21
สารระเหย	44.13	42.95	34.09	30.12	21.25	15.27
คาร์บอนคงตัว	33.10	40.91	49.88	52.10	61.31	67.08
(dry basis)						
เถ้า	12.67	15.26	15.58	17.49	17.06	17.29
สารระเหย	49.90	43.40	34.27	30.23	21.35	15.34
คาร์บอนคงตัว	37.43	41.34	50.15	52.28	61.59	67.37
ร้อยละกำมะถัน	1.15	1.48	1.61	1.51	1.72	1.50
ค่าความร้อน (แคลอรี/กรัม)						
ตัวอย่างที่นำมาวิเคราะห์	5072	5196	5758	5972	6320	6746

ศูนย์วิทยทรัพยากร
จุฬาลงกรณ์มหาวิทยาลัย

ตารางที่ ค.7 แสดงคุณสมบัติของถ่านชาร์จากการคาร์บอนไนซ์ถ่านหินในช่วงขนาด 2.0-4.0 มิลลิเมตรกับอุณหภูมิในระบบฟลูอิดเซชัน

คุณสมบัติ	อุณหภูมิที่คาร์บอนไนซ์ (องศาเซลเซียส)					
	เริ่มต้น	325	400	475	550	600
การวิเคราะห์แบบประมาณ, ร้อยละ (air-dried basis)						
ความชื้น	11.83	1.30	1.56	1.71	0.65	1.37
เถ้า	10.22	12.79	13.07	13.12	14.21	14.45
สารระเหย	44.87	44.85	38.51	31.74	23.58	18.96
คาร์บอนคงตัว	33.08	41.06	46.86	53.43	61.56	65.22
(dry basis)						
เถ้า	11.59	12.96	13.28	13.35	14.30	14.65
สารระเหย	50.89	45.44	39.12	32.29	23.74	19.22
คาร์บอนคงตัว	37.52	41.60	47.60	54.36	61.96	66.13
ร้อยละกำมะถัน	1.10	1.53	1.67	1.61	1.48	1.54
ค่าความร้อน (แคลอรี/กรัม)						
ตัวอย่างที่นำมาวิเคราะห์	5043	5366	5589	5976	6415	6447

ศูนย์วิทยทรัพยากร
จุฬาลงกรณ์มหาวิทยาลัย

ตารางที่ ค.8 แสดงคุณสมบัติของถ่านชาร์จากการคาร์บอนไนซ์ถ่านหินในช่วงขนาด 4.0-6.0 มิลลิเมตรกับอุณหภูมิในระบบฟลูอิดไอเซชัน

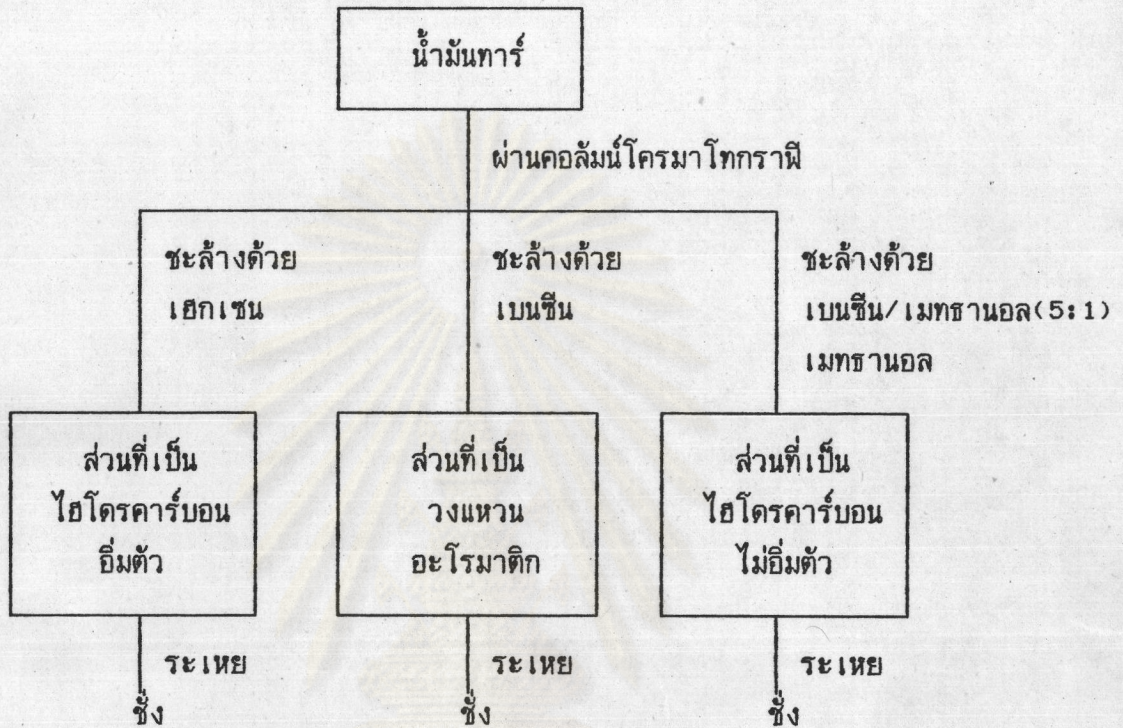
คุณสมบัติ	อุณหภูมิที่คาร์บอนไนซ์ (องศาเซลเซียส)					
	เริ่มต้น	325	400	475	550	600
การวิเคราะห์แบบประมาณ, ร้อยละ (air-dried basis)						
ความชื้น	11.95	2.59	2.49	2.10	1.82	2.06
เถ้า	9.47	11.99	12.00	13.19	12.91	13.78
สารระเหย	45.12	46.12	35.97	30.01	22.79	18.74
คาร์บอนคงตัว	33.46	39.30	48.64	54.70	62.48	65.42
(dry basis)						
เถ้า	10.76	12.31	13.23	13.47	13.15	14.07
สารระเหย	51.24	47.35	36.89	30.66	23.21	19.13
คาร์บอนคงตัว	38.00	40.34	49.88	55.87	63.64	66.80
ร้อยละกำมะถัน	1.08	1.57	1.47	1.51	1.54	1.68
ค่าความร้อน (แคลอรี/กรัม) ตัวอย่างที่นำมาวิเคราะห์	5152	5498	5715	5854	6364	6463

ศูนย์วิทยทรัพยากร
จุฬาลงกรณ์มหาวิทยาลัย

ภาคผนวก ง

การวิเคราะห์น้ำมันทาร์ด้วยวิธีการดูดซับในคอลัมน์โครมาโทกราฟี

เพื่อวิเคราะห์หากลุ่มโครงสร้างและปริมาณน้ำมันทาร์ที่ได้แต่ละอุณหภูมิที่คาร์บอนในซ์



รูปที่ ง.1 แสดงขั้นตอนการแยกน้ำมันทาร์โดยใช้วิธีคอลัมน์โครมาโทกราฟี

1. การเตรียม

อะลูมินา อบขจัดน้ำที่ 380-400 องศาเซลเซียส เป็นเวลา 3 ชั่วโมง
ซิลิกาเจล อบที่ 100 องศาเซลเซียส เป็นเวลา 18 ชั่วโมง

2. การเตรียมคอลัมน์ ใช้คอลัมน์แก้วขนาดเส้นผ่านศูนย์กลาง 1 เซนติเมตร สูง 50 เซนติเมตร ใช้ใยแก้วอุดปลายล่างของคอลัมน์ แล้วเติมอะลูมินาปริมาณเล็กน้อยกลบใยแก้วให้มิด และปรับผิวให้เรียบ ใส่เฮกเซนลงในคอลัมน์ให้ได้ 3 ใน 4 ส่วนของความสูงของคอลัมน์เติมผงซิลิกาเจลผ่านกรวยกรองลงในคอลัมน์พร้อมกับเอาสายยางเคาะคอลัมน์เบา ๆ เพื่อให้ซิลิกาเอนกัันอยู่ในคอลัมน์สม่ำเสมอรวมทั้งให้เฮกเซนในคอลัมน์ไหลออกจากคอลัมน์ด้วย ล้างซิลิกาเจลที่ติดอยู่ข้าง ๆ คอลัมน์ลงให้หมด ใส่อะลูมินาลงไปอีกเล็กน้อย เพื่อเป็นการปรับพื้นผิวด้านบนให้เรียบก่อนนำมาวิเคราะห์ตัวอย่าง รอให้ระดับของเฮกเซนลดลงจนระดับสูง 1 เซนติเมตร

3. การวิเคราะห์น้ำมันนํ้า

3.1 ชั่งน้ำมันนํ้าที่ได้จากการคาร์บอนไนซ์ให้ได้น้ำหนักอย่างละเอียด

3.2 ละลายน้ำมันนํ้าด้วยเฮกเซน 5X10 มิลลิลิตร แล้วเทลงในคอลัมน์ผ่านกรวยกรองทางด้านบน ใช้บีกเกอร์รองรับทางด้านล่างของคอลัมน์ เพื่อเก็บส่วนที่แยกได้เป็นพวกไฮโดรคาร์บอนอิมัตว

3.3 เมื่อระดับเฮกเซนอยู่เหนือชั้นของอะลูมินา 1 เซนติเมตรละลายน้ำมันนํ้าด้วยเบนซีนปริมาตร 5X10 มิลลิลิตร ลงในคอลัมน์เปลี่ยนบีกเกอร์รองรับใหม่ ส่วนที่เก็บได้เป็นพวกวงแหวนอะโรมาติก

3.4 ทำเหมือนกับข้อ 3.3 โดยเปลี่ยนมาใช้สารละลายผลระหว่างเบนซีนกับเมทานอล (5:1 โดยปริมาตร) 25 มิลลิลิตร และสารละลายเมทานอล 25 มิลลิลิตร ส่วนที่เก็บได้เป็นพวกไฮโดรคาร์บอนไม่อิมัตว

3.5 นำส่วนที่แยกได้ในข้อ 3.2, 3.3 และ 3.4 มาระเหยตัวทำละลายบนอ่างน้ำร้อนทิ้งไว้ในโถอบให้เย็นแล้วนำไปซึ่งอย่างละเอียด เมื่อหกน้ำหนักของบีกเกอร์ได้ปริมาณของส่วนต่าง ๆ ตามที่กล่าวมาแล้ว

4. การคำนวณหาสัดส่วนโดยน้ำหนักขององค์ประกอบน้ำมันนํ้า

การวิเคราะห์น้ำมันนํ้าที่ได้จากการคาร์บอนไนซ์ที่อุณหภูมิ 325 องศาเซลเซียสของถ่านหินขนาด 0.5-1.0 มิลลิเมตรในระบบนิซเซอร์รีทอร์ท

น้ำหนักน้ำมันนํ้า	0.6053	กรัม		
น้ำหนักไฮโดรคาร์บอนอิมัตวที่ได้	0.1344	กรัม	สัดส่วนโดยน้ำหนัก	0.2269
น้ำหนักวงแหวนอะโรมาติกที่ได้	0.2937	กรัม	สัดส่วนโดยน้ำหนัก	0.4958
น้ำหนักไฮโดรคาร์บอนไม่อิมัตวที่ได้	0.1643	กรัม	สัดส่วนโดยน้ำหนัก	0.2773
น้ำหนักสูญเสีย	0.0129	กรัม		

ศูนย์วิทยทรัพยากร
จุฬาลงกรณ์มหาวิทยาลัย

ตารางที่ ง.1 แสดงกลุ่มโครงสร้างของน้ำมันทาร์เป็นส่วนโดยน้ำหนักจากการคาร์บอนไนซ์
ถ่านหินช่วงขนาด 0.5-1.0 มิลลิเมตรที่อุณหภูมิต่าง ๆ ในรีทอร์ทแบบพิชเชอร์

กลุ่มโครงสร้าง (สัดส่วนโดยน้ำหนัก)	อุณหภูมิที่คาร์บอนไนซ์ (องศาเซลเซียส)				
	325	400	475	550	600
สารไฮโดรคาร์บอนอิ่มตัว	0.2269	0.2149	0.1432	0.1630	0.2295
สารไฮโดรคาร์บอนไม่อิ่มตัว	0.2773	0.3015	0.2044	0.2766	0.1611
สารวงแหวนอะโรมาติก	0.4958	0.4836	0.6524	0.5604	0.6094

ตารางที่ ง.2 แสดงกลุ่มโครงสร้างของน้ำมันทาร์เป็นส่วนโดยน้ำหนักจากการคาร์บอนไนซ์
ถ่านหินช่วงขนาด 1.0-2.0 มิลลิเมตรที่อุณหภูมิต่าง ๆ ในรีทอร์ทแบบพิชเชอร์

กลุ่มโครงสร้าง (สัดส่วนโดยน้ำหนัก)	อุณหภูมิที่คาร์บอนไนซ์ (องศาเซลเซียส)				
	325	400	475	550	600
สารไฮโดรคาร์บอนอิ่มตัว	0.0897	0.0849	0.0930	0.1893	0.1949
สารไฮโดรคาร์บอนไม่อิ่มตัว	0.3478	0.1285	0.1280	0.0739	0.1594
สารวงแหวนอะโรมาติก	0.5625	0.7866	0.7790	0.7368	0.6457

ตารางที่ ง.3 แสดงกลุ่มโครงสร้างของน้ำมันเป็นสัดส่วนโดยน้ำหนักจากการคาร์บอนไนซ์
ถ่านหินช่วงขนาด 2.0-4.0 มิลลิเมตรที่อุณหภูมิต่าง ๆ ในรีทอร์ทแบบพิชเชอร์

กลุ่มโครงสร้าง (สัดส่วนโดยน้ำหนัก)	อุณหภูมิที่คาร์บอนไนซ์ (องศาเซลเซียส)				
	325	400	475	550	600
สารไฮโดรคาร์บอนอิ่มตัว	0.0906	0.0403	0.0222	0.1504	0.1893
สารไฮโดรคาร์บอนไม่อิ่มตัว	0.2616	0.3277	0.1722	0.1933	0.1036
สารวงแหวนอะโรมาติก	0.6478	0.6320	0.8056	0.6563	0.7071

ตารางที่ ง.4 แสดงกลุ่มโครงสร้างของน้ำมันที่คาร์บอนไนซ์เป็นสัดส่วนโดยน้ำหนักจากการคาร์บอนไนซ์
ถ่านหินช่วงขนาด 4.0-6.0 มิลลิเมตรที่อุณหภูมิต่าง ๆ ในรีทอร์ทแบบพิชเชอร์

กลุ่มโครงสร้าง (สัดส่วนโดยน้ำหนัก)	อุณหภูมิที่คาร์บอนไนซ์ (องศาเซลเซียส)				
	325	400	475	550	600
สารไฮโดรคาร์บอนอิ่มตัว	0.1429	0.1203	0.0473	0.1266	0.1667
สารไฮโดรคาร์บอนไม่อิ่มตัว	0.0681	0.0366	0.0740	0.0486	0.1555
สารวงแหวนอะโรมาติก	0.7890	0.8431	0.8787	0.8248	0.6778

ตารางที่ ง.5 แสดงกลุ่มโครงสร้างของน้ำมันทาร์เป็นส่วนโดยน้ำหนักจากการคาร์บอนไนซ์
ถ่านหินช่วงขนาด 0.5-1.0 มิลลิเมตรที่อุณหภูมิต่าง ๆ ในฟลูอิโดซ์เบด

กลุ่มโครงสร้าง (สัดส่วนโดยน้ำหนัก)	อุณหภูมิที่คาร์บอนไนซ์ (องศาเซลเซียส)				
	325	400	475	550	600
สารไฮโดรคาร์บอนอิ่มตัว	0.2756	0.2561	0.3604	0.4784	0.3553
สารไฮโดรคาร์บอนไม่อิ่มตัว	0.4132	0.3532	0.3195	0.2816	0.2632
สารวงแหวนอะโรมาติก	0.3112	0.3907	0.3201	0.2400	0.3815

ตารางที่ ง.6 แสดงกลุ่มโครงสร้างของน้ำมันทาร์เป็นส่วนโดยน้ำหนักจากการคาร์บอนไนซ์
ถ่านหินช่วงขนาด 1.0-2.0 มิลลิเมตรที่อุณหภูมิต่าง ๆ ในฟลูอิโดซ์เบด

กลุ่มโครงสร้าง (สัดส่วนโดยน้ำหนัก)	อุณหภูมิที่คาร์บอนไนซ์ (องศาเซลเซียส)				
	325	400	475	550	600
สารไฮโดรคาร์บอนอิ่มตัว	0.2447	0.3572	0.3351	0.4202	0.4485
สารไฮโดรคาร์บอนไม่อิ่มตัว	0.3117	0.3063	0.2971	0.3066	0.2830
สารวงแหวนอะโรมาติก	0.4436	0.3365	0.3678	0.2732	0.2685

ตารางที่ ง.7 แสดงกลุ่มโครงสร้างของน้ำมันทาร์เป็นส่วนโดยน้ำหนักจากการคาร์บอนไนซ์
ถ่านหินช่วงขนาด 2.0-4.0 มิลลิเมตรที่อุณหภูมิต่าง ๆ ในฟลูอิโดซ์เบด

กลุ่มโครงสร้าง (สัดส่วนโดยน้ำหนัก)	อุณหภูมิที่คาร์บอนไนซ์ (องศาเซลเซียส)				
	325	400	475	550	600
สารไฮโดรคาร์บอนอิ่มตัว	0.2536	0.1704	0.2435	0.2998	0.2135
สารไฮโดรคาร์บอนไม่อิ่มตัว	0.3580	0.3511	0.3194	0.3092	0.3433
สารวงแหวนอะโรมาติก	0.3884	0.4785	0.4371	0.3910	0.4432

ตารางที่ ง.8 แสดงกลุ่มโครงสร้างของน้ำมันทาร์เป็นส่วนโดยน้ำหนักจากการคาร์บอนไนซ์
ถ่านหินช่วงขนาด 4.0-6.0 มิลลิเมตรที่อุณหภูมิต่าง ๆ ในฟลูอิโดซ์เบด

กลุ่มโครงสร้าง (สัดส่วนโดยน้ำหนัก)	อุณหภูมิที่คาร์บอนไนซ์ (องศาเซลเซียส)				
	325	400	475	550	600
สารไฮโดรคาร์บอนอิ่มตัว	0.2043	0.2741	0.2410	0.1457	0.2148
สารไฮโดรคาร์บอนไม่อิ่มตัว	0.3782	0.3309	0.3378	0.3239	0.3311
สารวงแหวนอะโรมาติก	0.4175	0.3950	0.4212	0.5304	0.4541



ประวัติผู้เขียน

ชื่อ นาย วิเชียร ตรงจิตธรรม
สำเร็จการศึกษา 2525 วิทยาศาสตร์บัณฑิต (เคมี) มหาวิทยาลัยรามคำแหง



ศูนย์วิทยุทรัพยากร
จุฬาลงกรณ์มหาวิทยาลัย